

УДК 538.113:543.422.27

О СТРОЕНИИ КООРДИНАЦИОННЫХ СОЕДИНЕНИЙ МЕДИ(II) С L-ГИСТИДИНОМ

В.Т. Панюшкин¹, И.Н. Щербаков², В.А. Волынкин¹, С.Н. Болотин¹, Н.Н. Буков¹,
Т.В. Швыдко², Л.Х. Джабраилова³, М.Х. Шамсутдинова³

¹Кубанский государственный университет, Краснодар, Россия

E-mail: panyushkin@chem.kubsu.ru

²Южный федеральный университет, Ростов н/Д, Россия

³Чеченский государственный университет, Грозный, Россия

Статья поступила 23 ноября 2015 г.

С доработки — 18 октября 2016 г.

Проведены квантово-химические расчеты пространственного и электронного строения комплексных соединений L-гистидина и его ионизированных форм с медью(II) различного состава в рамках теории функционала плотности (DFT) с использованием функционала B3LYP и базиса 6-311G(d). Учет растворителя (вода) проводился в рамках приближения PCM. Методом спектроскопии ЭПР изучено равновесие в системе медь(II)–L-гистидин в водном растворе в интервале pH 2–11. Сопоставление теоретических расчетов и данных спектров ЭПР позволило предположить следующую геометрию координационного окружения иона меди(II) в комплексных соединениях: CuHLL — плоско-квадратная координация; CuL₂, CuHLL' и CuLL' — искаженная квадратная пирамида; CuL₂' — октаэдрическое окружение.

DOI: 10.15372/JSC20170311

Ключевые слова: L-гистидин, ЭПР, DFT.

ВВЕДЕНИЕ

Хотя вопросу комплексообразования ионов меди(II) с гистидином посвящено большое количество работ [1—5], вопрос о способах координации аминокислоты остается дискуссионным. Наличие в молекуле гистидина нескольких донорных групп определяет различный характер связывания с ионом металла, который зависит от условий проведения реакции комплексообразования. В этом отношении интересны не только бинарные комплексы [6], но и разнолигандные [7], в том числе с участием пептидов [8] и других полидентатных лигандов [9].

Несмотря на большое количество имеющихся данных [10], данная тема не теряет свою актуальность [11]. В частности, представляет интерес квантово-химический расчет и теоретическое обоснование структуры и состава образующихся комплексных форм и установление корреляции с имеющимися экспериментальными данными.

Как было показано нами ранее [12], использование метода ЭПР позволяет наряду с параметрами, определяющими термодинамическую устойчивость комплексов, прогнозировать их структурные характеристики. В предыдущей работе [13] для нахождения параметров образующихся комплексных соединений мы использовали компьютерное моделирование спектров ЭПР растворов бинарных систем, содержащих Cu(II) и лиганд при различных pH и соотношениях металлы/лиганд, что дало возможность определить наличие определенных форм комплексов, образующихся в растворе, их термодинамические и структурные параметры.

Цель данной работы — привлечение методов квантово-химического моделирования для оценки строения и относительной устойчивости изомерных форм комплексов Cu(II) с L-гистидином и сопоставление результатов расчетов с данными спектроскопии ЭПР.

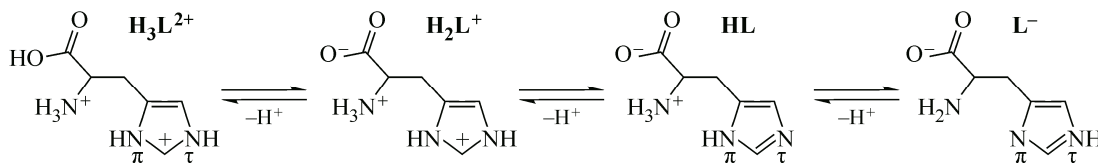
ЭКСПЕРИМЕНТАЛЬНАЯ ЧАСТЬ

Использовали $\text{Cu}(\text{NO}_3)_2$, полученный растворением навески металлической меди в азотной кислоте, и гидрохлорид L-гистидина. Все реактивы квалификации ЧДА. Для поддержания постоянной ионной силы использовали 1М KNO_3 . pH измеряли иономером ЭВ-74. Спектры ЭПР записывали на ЭПР спектрометре Radiopan SE-X 2543. Обработку спектров ЭПР проводили по методике, описанной нами в [14].

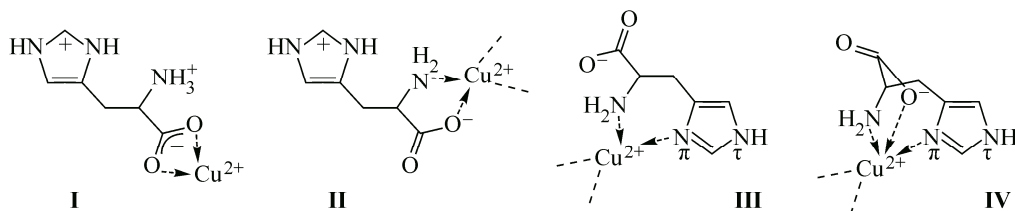
Квантово-химические расчеты выполнены с помощью программы Gaussian'09 в рамках теории функционала плотности (DFT) с использованием гибридного обменно-корреляционного функционала B3LYP в базисе 6-311G(*d*). Оптимизацию геометрии молекул проводили по всем координатам без наложения ограничений на симметрию. При расчете ионизированных и нейтральных форм L-гистидина и комплексных соединений проводили учет влияния растворителя в рамках модели непрерывной поляризуемой среды (PCM). Для описания растворителя (вода) использовали стандартные параметры, встроенные в программу Gaussian'09. Все минимумы на поверхности потенциальной энергии (ППЭ) охарактеризованы расчетом нормальных колебаний. Относительные энергии изомерных форм приведены с учетом поправки на энергию нулевых колебаний (ZPE — zero-point energy).

РЕЗУЛЬТАТЫ И ИХ ОБСУЖДЕНИЕ

В соответствии с литературными данными [2] равновесия в растворе свободного лиганда (L-гистидина) можно представить как:



Согласно данной схеме как потенциально тридентатный лиганд L-гистидин может образовывать координационные связи по трем донорным группам: карбоксильной, аминогруппе и имидазольной группировке. Таким образом, основные способы координации L-гистидина к иону меди(II) реализуются по схеме с координацией по карбоксильной группе (I), по карбоксильной и аминогруппе (глицин-подобная координация (II)) и координацией по аминогруппе и имидазольной группировке (гистамин-подобная координация (III)). Также возможна координация лиганда по трем донорным центрам (IV).



Если рассматривать данные по константам депротонирования [2], то в области низких pH (порядка 3—4) могут образовываться комплексные соединения с координацией иона металла по депротонированной карбоксильной группе, образуя малоустойчивый четырехчленный цикл с ионом-комплексообразователем. В области pH более 6 возможно связывание в комплекс по имидазольному атому азота гистидина. При совместной координации по имидазольному атому азота и другим донорным группам (карбоксильной и аминогруппе) образуются соответственно

термодинамически неустойчивый семичленный цикл и достаточно стабильный шестичленный цикл. Возможно и существование комплексных соединений с координацией по карбоксильной группе и аминогруппе с образованием пятичленного хелатного цикла, отличающегося заметной стабильностью. При pH выше 9 происходит отрыв протона от аминогруппы лиганда.

Однако данная теория, несмотря на всю ее привлекательность, не отражает реального положения, поскольку важное значение имеет термодинамика протекающих процессов, в частности, образования хелатов, а также некоторые другие факторы, такие как сила связи метал—лиганд (опосредованно определяющая константы устойчивости образующихся комплексов), стереохимия образующихся комплексных форм, энтропия процесса и энергия стабилизации полем лиганда.

Расчет геометрии комплексов. Наличие двух подвижных протонов и пяти донорных центров в сочетании с гибкостью пропионовой алифатической цепочки порождает большое разнообразие возможных таутомерных и конформерных форм L-гистидина и его протонированных и депротонированных ионов. Значительный вклад при этом в стабилизацию изомеров, кроме основности донорного центра, также вносят и возникающие внутримолекулярные водородные связи (BBC). Расчет методом DFT без и с учетом (в приближении PCM) влияния среды на строение изомеров молекулярной и монозаряженных форм L-гистидина дает следующие результаты (на рис. 1 приведено строение ряда наиболее устойчивых из всех возможных изомеров, в табл. 1 приведены полные энергии и относительные устойчивости изомеров гистидина (**HL**), его протонированной (H_2L^+) и депротонированной форм (L^-).

Как видно из приведенных данных, природа частиц и их относительная устойчивость в растворе и в вакууме значительно отличаются. Так, для протонированной и нейтральной форм L-гистидина в водной среде наиболее устойчивы цвиттер-ионные изомеры H_2L^+ (3) и **HL** (5) с депротонированной карбоксильной группой, стабилизированные парой внутримолекулярных водородных связей (BBC) $\text{N}_{\text{амин}}\text{H}\cdots\text{O}$ и $\text{N}_{\text{имид}}\text{H}\cdots\text{O}$ и $\text{N}_{\text{амм}}\text{H}\cdots\text{O}$ и $\text{N}_{\text{амм}}\text{H}\cdots\text{N}_{\text{имид}}$ соответственно. Следует отметить, что при отсутствии учета растворителя цвиттер-ионные структуры либо сильно дестабилизированы (см. **HL** (5)), либо не отвечают минимумам на ППЭ. При попытке оптимизации геометрии изомеров H_2L^+ (3) и **HL** (3) наблюдается безбарьерный перенос протона от аммониевой к карбоксильной группе с образованием изомеров H_2L^+ (2) или **HL** (4) соответственно. Структура H_2L^+ (2) отвечает глобальному минимуму среди монокатионных форм в газовой фазе, являясь значительно стабильней H_2L^+ (1), вероятно, за счет лучшей делокализации положительного заряда в имидазольном фрагменте. В водном растворе изомеры H_2L^+ (2) и H_2L^+ (3) отличаются по устойчивости менее чем на 1 ккал/моль в пользу последнего. В газо-

Таблица 1

Полная энергия с учетом энергии нулевых колебаний (E , а.е.)
и относительная устойчивость (ΔE , ккал/моль) изомерных форм лигандов

Форма лиганда	Вакуум		Вода	
	$E + \text{ZPE}$, а.е.	ΔE , ккал/моль	$E_{\text{PCM}} + \text{ZPE}$, а.е.	ΔE , ккал/моль
H_2L^+ (1)	-549,27885	8,33	-549,20016	2,38
H_2L^+ (2)	-549,29213	0	-549,20311	0,52
H_2L^+ (3)	—	—	-549,20394	0
HL (1)	-548,74148	0,37	-548,76302	0,19
HL (2)	-548,74207	0	-548,76037	1,85
HL (3)	—	—	-548,76015	1,99
HL (4)	-548,74181	0,16	-548,76120	1,34
HL (5)	-548,72672	9,63	-548,76333	0
L^- (1)	-548,33857	13,77	-548,31595	2,02
L^- (2)	-548,36051	0	-548,31918	0

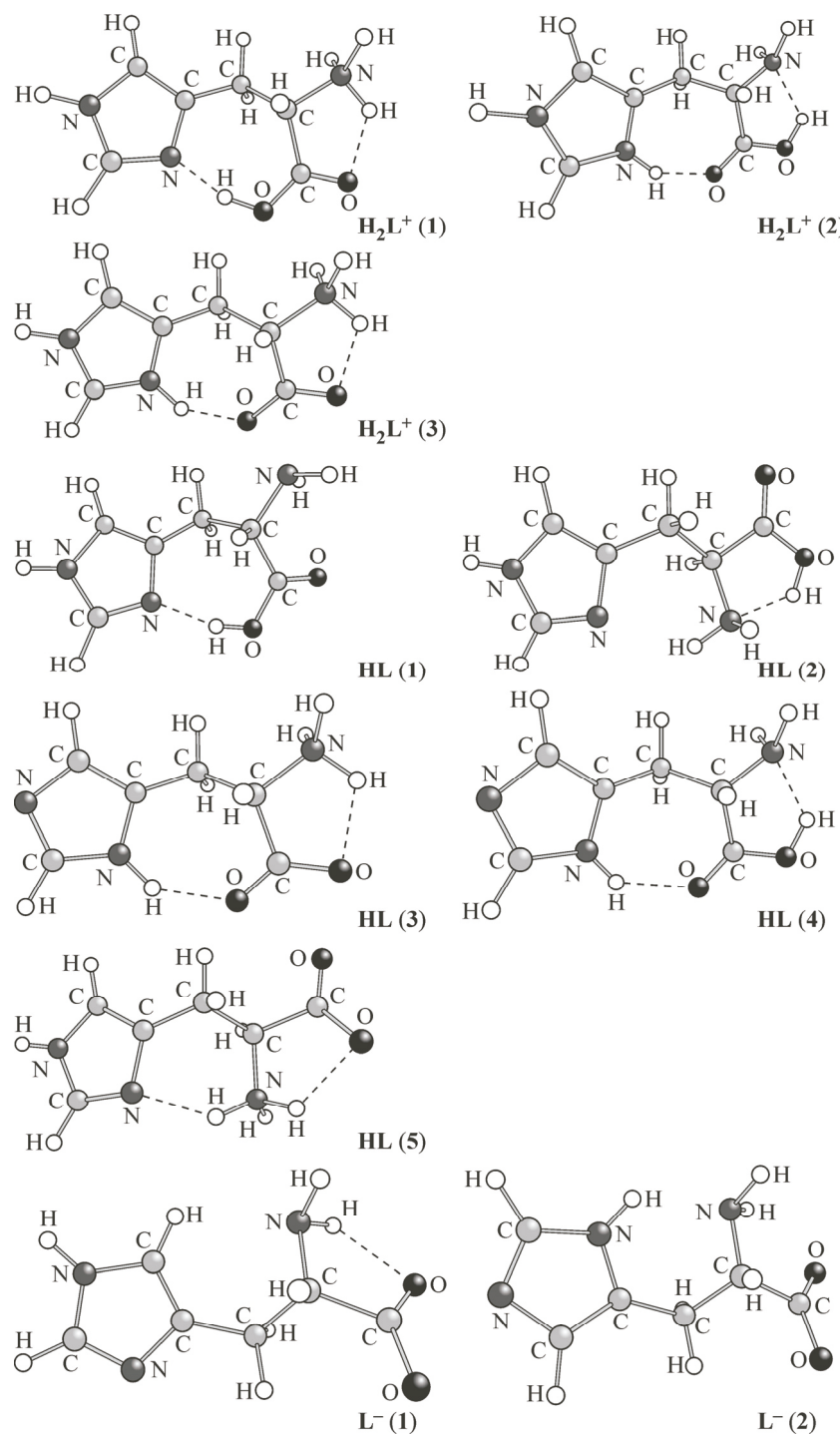


Рис. 1. Строение изомерных форм нейтральной (**HL**), протонированной (**H₂L⁺**) и депротонированной **L⁻** форм L-гистидина

вой фазе три нейтральных изомера **HL (1)**, **HL (2)** и **HL (4)** весьма близки по устойчивости, а при переходе к водному раствору различие в относительной устойчивости становится чуть более существенным и полностью изменяется ее порядок для изомеров. Так, самый устойчивый в вакууме изомер **HL (2)** становится при учете растворителя одним из наименее устойчивых.

Как свидетельствуют результаты поиска, проведенного в Кембриджском банке структурных данных [15], предпочтительность реализации цвиттер-ионных структур является харак-

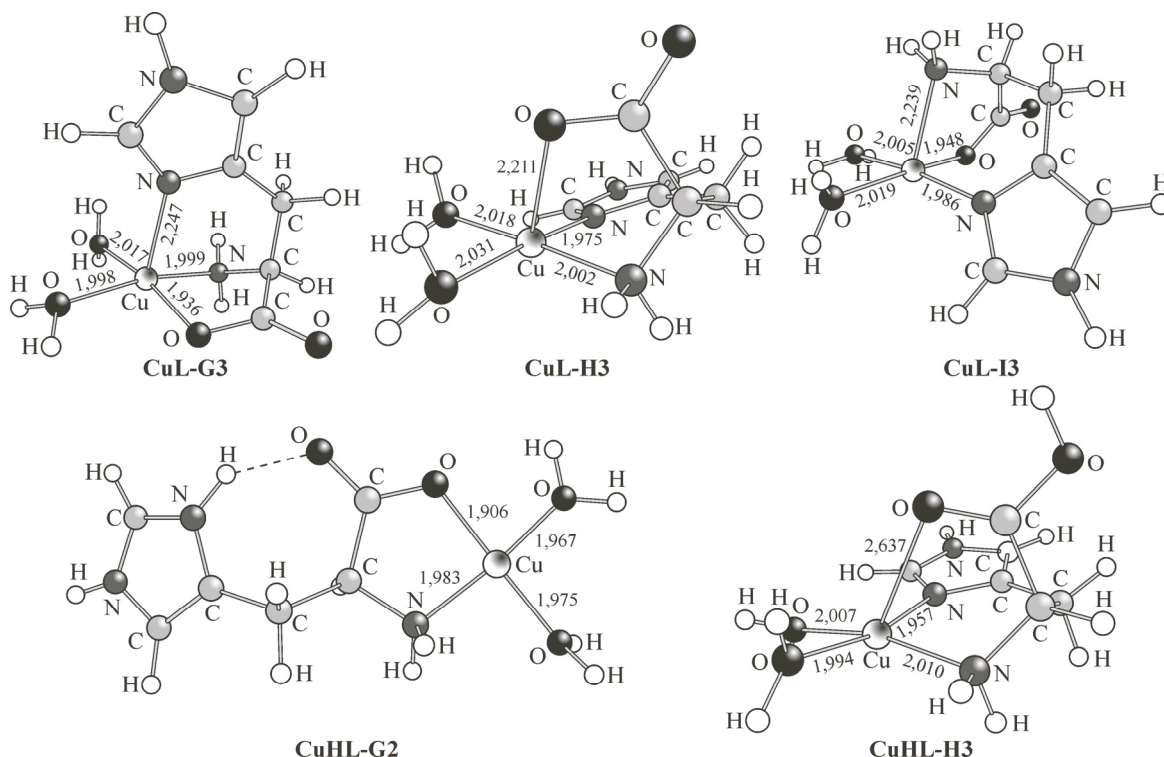


Рис. 2. Строение изомерных форм комплексов состава M:L (1:1) с нейтральной иmonoанионной формами лиганда

терной не только в растворе, но и в кристаллическом состоянии как для нейтральной [16, 17], так и для монопротонированной формы L-гистидина [18—20].

В случае моноанионной формы значительно большая устойчивость изомера L^- (2) обусловлена различной основностью атомов азота N_π и N_τ имидазольного кольца и наличием ВВС $\text{N}_{\text{имид}}\text{H}\cdots\text{N}_{\text{ам}}$. В водном растворе этот изомер на 2,02 ккал/моль устойчивее L^+ (1).

Таким образом, результаты расчетов согласуются с предлагаемой ранее последовательностью депротонирования катиона L-гистидина — первоначально отщепляется протон имидазолиниевого фрагмента, затем протон аммониевой группы (см. схему выше), однако для ряда катионов и нейтральных изомеров гистидина разница устойчивости весьма мала, что дает возможность предполагать наличие равновесия между ними.

Результаты экспериментальных исследований показывают наличие в растворе весьма обширной системы равновесий, включающих в том числе и ряд комплексных соединений состава 1:1. На рис. 2 представлены результаты оптимизации геометрии комплексов меди с нейтральной и протонированной формами гистидина состава M:L (1:1). Свободные положения в координационной сфере иона меди(II) заполняли молекулами воды.

В зависимости от степени протонирования гистидина будет варьироваться возможная денаттность лиганда в комплексах с ионами меди(II). Очевидно, что для H_2L^+ возможна не более чем бидентатная функция, а для HL и L^- возможна как би-, так и тридентатная координация. В последнем случае в комплексообразовании участвуют три донорных центра — атом кислорода карбоксильной группы, атомы азота амино- и 2-имидазольного фрагмента. Благодаря значительному статическому эффекту Яна—Теллера, характерному для иона меди с электронной конфигурацией d^9 и пространственному расположению донорных атомов, в этом случае две координационные связи (располагающиеся в экваториальной плоскости координационной сферы) с ионом меди имеют стандартную длину, а третья — в аксиальном положении — оказывается удлиненной. Это порождает три различных структурных изомера, показанных на рис. 2,

Таблица 2

Полная энергия (E) и относительная устойчивость (ΔE) изомерных форм комплексов состава M:L (1:1) (растворитель — вода)

Форма лиганда	$E_{PCM}+ZPE$, а.е.	ΔE , ккал/моль	Форма лиганда	$E_{PCM}+ZPE$, а.е.	ΔE , ккал/моль
CuL-G3	-2341,41421	0	CuHL-G2	-2341,84604	0
CuL-H3	-2341,40996	2,66	CuHL-H3	-2341,84087	3,25
CuL-I3	-2341,41151	1,69	CuHL-H2	-2341,84147	2,87
CuL-G2	-2341,40619	5,26	CuH₂L⁺ (COO)	-2342,23627	2,60
CuL-H2	-2341,40220	7,54	CuH₂L⁺-G2	-2342,24042	0

каждый из которых отвечает минимуму на поверхности потенциальной энергии: **CuL-G3** (глицин-подобная координация (G), в экваториальном положении располагаются атомы кислорода карбоксильной и азота аминогруппы; атом азота имидазольного фрагмента — в аксиальном положении), **CuL-H3** (гистамин-подобная координация (H), в экваториальном положении располагаются атомы азота аминогруппы и имидазольного цикла; атом кислорода карбоксильной группы — в аксиальном положении) и **CuL-I3** (в экваториальном положении располагаются атомы азота имидазольного цикла (I); аминогруппа — в аксиальном положении). Цифра в обозначении изомера соответствует дентатности лиганда в комплексе.

Как видно из рис. 2, все три изомера имеют строение, близкое к квадратной пирамиде. Усредненное изменение длин координационных связей в экваториальной и аксиальной позициях составляют для N_{am} , N_{im} и O_{karb} 0,24, 0,27 и 0,27 Å соответственно. По результатам расчетов полной энергии изомерных форм комплексов состава M:L (1:1) с монодепротонированным L-гистидином в водном растворе (табл. 2) наиболее устойчив изомер **CuL-G3**, далее следует **CuL-I3** (разница в устойчивости 1,69 ккал/моль), и наименее стабилен изомер **CuL-H3** на 2,66 ккал/моль относительно **CuL-G3**. Изомеры с бидентатной координацией аниона L-гистидина существенно дестабилизированы относительно комплексов с тридентатной координацией.

Переход к нейтральному лиганду HL за счет протонирования комплексов **CuL-G3**, **CuL-H3** и **CuL-I3** по некоординированному атому кислорода карбоксильной группы сопровождается их трансформацией в единственный устойчивый изомер — **CuHL-H3** с гистамин-подобной тридентатной координацией лиганда, что связано с уменьшением основности кислородного донорного центра карбоксильной группы и вытеснению его в аксиальное положение, характерное для такого способа координации. Расстояние Cu—O_{karb} увеличивается с 2,211 (**CuL-H3**) до 2,637 Å (**CuHL-H3**). Однако этот изомер оказывается на 3,25 ккал/моль менее устойчивым по сравнению с изомером **CuHL-G2**, в котором реализуется бидентатная гистамин-подобная координация лиганда. В случае протонированного гистидина максимально возможная дентатность снижается до двух (рис. 3).

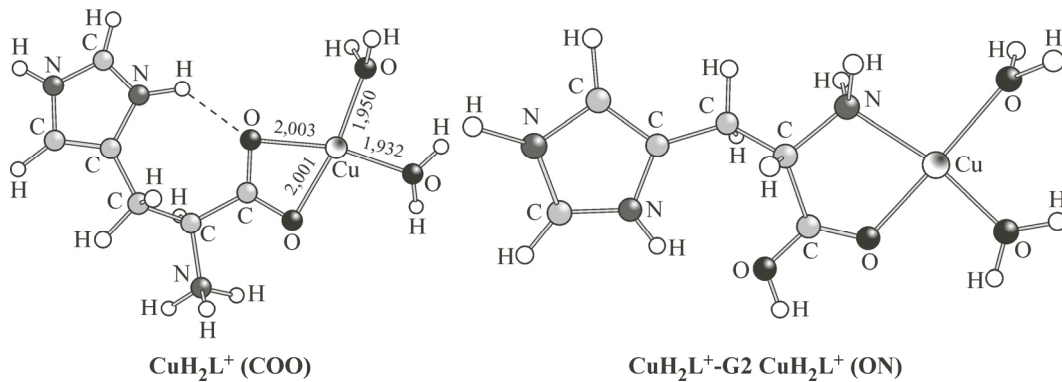


Рис. 3. Строение изомерных форм комплексов состава M:L (1:1) с протонированной формой лиганда

Таблица 3

Полная энергия (E , ккал/моль) и относительная устойчивость (ΔE , ккал/моль) изомерных форм комплексов состава M:L (1:2) (растворитель — вода)

Изомер	$E_{PCM}+ZPE$	ΔE	Изомер	$E_{PCM}+ZPE$	ΔE
Cu(H₂L⁺)₂(COO)	-2738,58077	0	CuL₂-G3G2	-2736,91017	0
Cu(H₂L⁺)₂-G2	-2738,58936	5,39	CuL₂-I3H2	-2736,90471	3,42
Cu(HL)₂-G2G2	-2737,79270	0	CuL₂-G3H2	-2736,90641	2,35
Cu(HL)₂-G2H2	-2737,78738	3,34	CuL₂-H3H2	-2736,90261	4,74
Cu(HL)₂-H3H3	-2737,77993	8,01	CuL₂-H3G2-<i>цик</i>	-2736,90924	0,58
Cu(HL)₂-H2H2-<i>цик</i>	-2737,78061	7,58	CuL₂-H3G2-<i>транс</i>	-2736,90826	1,19
CuL₂-G3G3	-2736,90968	0,30	CuL₂-I3G2-<i>цик</i>	-2736,90672	2,16
CuL₂-H3H3	-2736,90334	4,28	CuL₂-I3G2-<i>транс</i>	-2736,90821	1,23
CuL₂-I3I3	-2736,90380	3,99	CuHLL⁻-G2G3	-2737,34107	0
CuL₂-G3H3	-2736,90652	2,29	CuHLL⁻-G2G2	-2737,33489	3,88
CuL₂-G3I3	-2736,90629	2,43	CuHLH₂L⁺-G2-COO	-2738,21930	2,70
CuL₂-H3I3	-2736,90784	1,46	CuHLH₂L⁺-G2G2	-2738,22361	0

Предпочтительнее, как и можно было ожидать, оказывается **CuH₂L⁺-G2** изомер, в котором координация происходит по карбоксильной и аминогруппе, а **CuH₂L⁺(COO)** с координацией по карбоксильной группе дестабилизирован на 2,6 ккал/моль.

Результаты расчетов относительной энергии изомерных комплексов меди состава M:L (1:2) представлены в табл. 3 и на рис. 4. Как видно, возможно образование большого разнообразия как гомо-, так и гетеролептических комплексов. В силу энантиомерной чистоты лиганда для гомолептических бис-комплексов единственной возможной является поворотная симметрия второго порядка, так как центральная симметрия не реализуется.

По данным расчетов полной энергии форма **Cu(H₂L⁺)₂** с координацией через карбоксильную группу дестабилизирована относительно глицин-подобной формы **Cu(H₂L⁺)₂-G2** на 5,39 ккал/моль.

Среди нейтральных гомолептических комплексов с тридентатной координацией лиганда и координационным числом иона меди 6 (рис. 5, см. табл. 3) порядок стабильности изомеров аналогичен таковому для комплексов состава M:L (1:1). Наиболее устойчив изомер **CuL₂-G3G3** и значительно менее — **CuL₂-I3I3** и **CuL₂-H3H3**. Интересно, что смешанные лигандные комплексы такого типа заметно устойчивее последних, в частности, изомер **CuL₂-H3I3** всего на 1,16 ккал/моль менее устойчив, чем **CuL₂-G3G3**. Наиболее устойчивым среди всех нейтральных изомеров оказывается комплекс не с шести-, а с пятикоординированным ионом меди(II) —

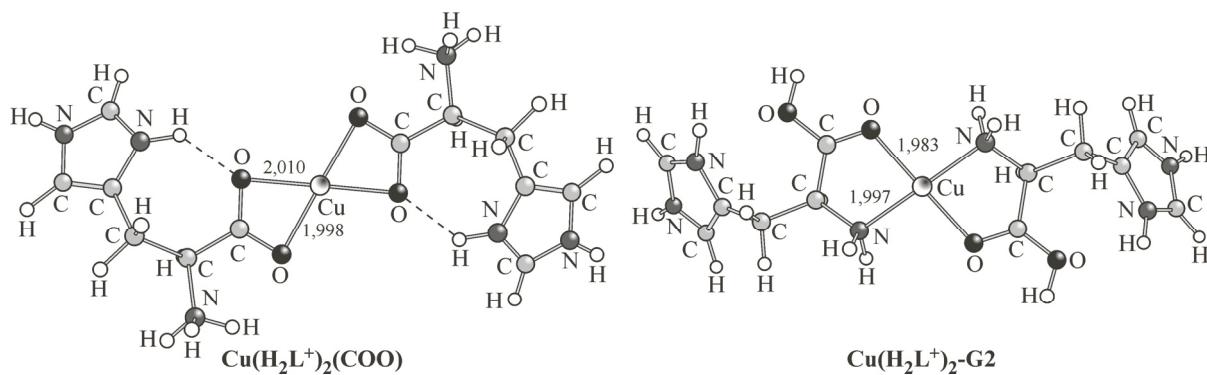


Рис. 4. Строение изомерных форм комплексов состава M:L (1:2) с протонированной формой лиганда

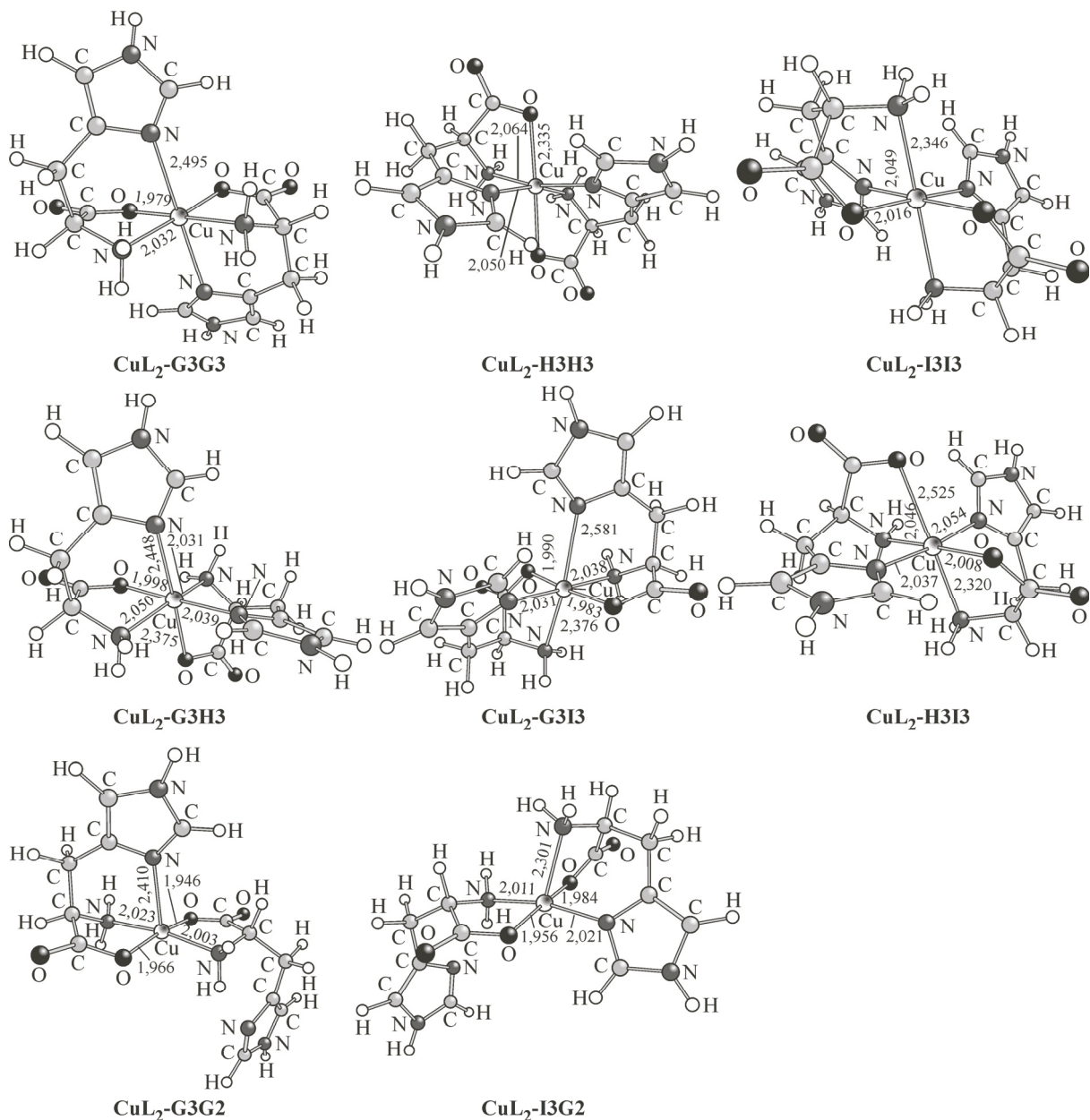


Рис. 5. Строение изомерных форм нейтральных комплексов состава M:L (1:2) с анионом L-гистидина

CuL₂-G3G2 со структурой искаженной квадратной пирамиды. Причиной этого является взаимное *транс*-влияние лигандов через ион металла, дестабилизирующее псевдооктаэдрические структуры. Так, отсутствие аксиальной координации имидазольного азота одного лиганда приводит к значительному укреплению связи Cu—N_{им} второго лиганда, межатомное расстояние Cu—N_{им} уменьшается с 2,495 до 2,410 Å. Также малой дестабилизацией относительно наиболее устойчивого изомера характеризуются пентакоординированные комплексы со смешанной координацией — **CuL₂-H3G2-*цик***, **CuL₂-H3G2-*транс*** и **CuL₂-I3G2-*транс***.

Для бикатионных комплексов с нейтральной формой L-гистидина характерна предпочтительность КЧ 4 (рис. 6 и табл. 4), наиболее устойчив из которых комплекс с глицин-подобной координацией **Cu(HL)₂-G2G2**. Единственный из возможных комплексов с КЧ 6 дестабилизирован более чем на 8 ккал/моль.

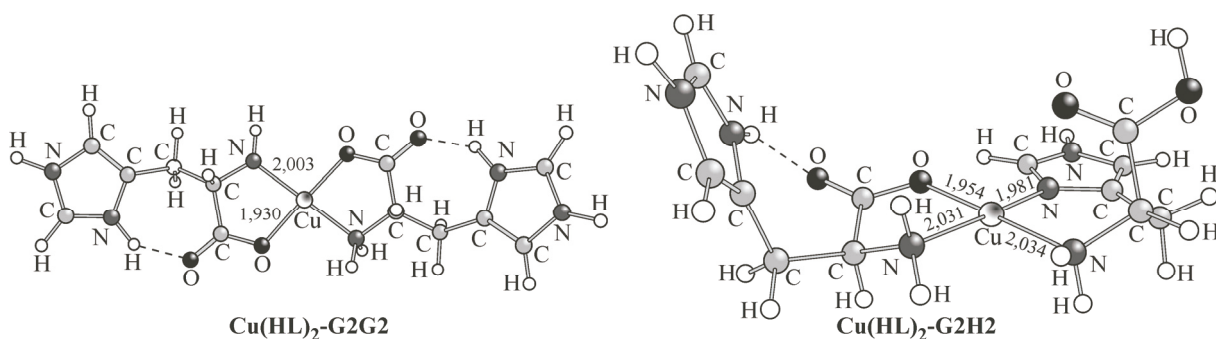


Рис. 6. Строение изомерных форм комплексов состава M:L (1:2) с нейтральной формой L-гистидина

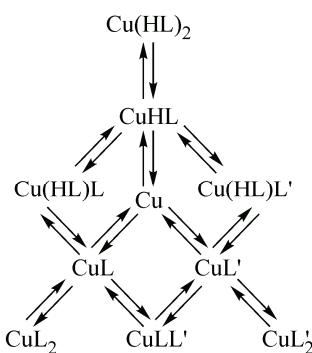
Таблица 4

Константа устойчивости и параметр спин-гамильтониана комплексов меди(II) с L-гистидином ($t = 25^\circ\text{C}$, $\mu = 1$ моль/л KNO_3)

Комплекс	$\lg\beta^*$	g	$A, \text{мTл}$	Комплекс	$\lg\beta^*$	g	$A, \text{мTл}$
CuHL	15,1(1)	2,1594(4)	5,1(1)	CuL'	11,1(1)	2,1304(2)	6,3(1)
Cu(HL) ₂	29,2(1)	2,1352(2)	5,6(1)	CuLL'	14,3(1)	2,1173(2)	7,6(1)
CuHLL'	26,5(1)	2,1268(2)	6,2(1)	CuL'_2	19,5(1)	2,1187(2)	8,2(1)

* $\beta = [\text{Cu}_p\text{L}_q\text{H}_r]/[\text{Cu}]^p[\text{L}]^q[\text{H}]^r$.

ЭПР спектроскопия. Ранее нами было проведено исследование рассматриваемой системы методом ЭПР с использованием упрощенной схемы химических равновесий [12, 21, 22]. В данной работе расчет равновесных концентраций и мольных долей комплексных форм проводили с использованием следующей схемы равновесий (заряды ионов здесь и далее не приводятся):



где CuHL и Cu(HL)₂ — формы комплексов с монодентатной координацией лиганда; CuL и CuL₂ — формы комплексов с глицин-подобным типом связи; CuL' и CuL'_2 — формы комплексов с гистамин-подобным типом связи; остальные бискомплексы, представленные на схеме, сочетают координацию различного типа. Мольные доли компонентов определяли, решая систему уравнений, состоящую из условий материального баланса, методом Ньютона [23].

Диаграмма распределения иона металла между различными формами комплексных соединений представлена на рис. 7.

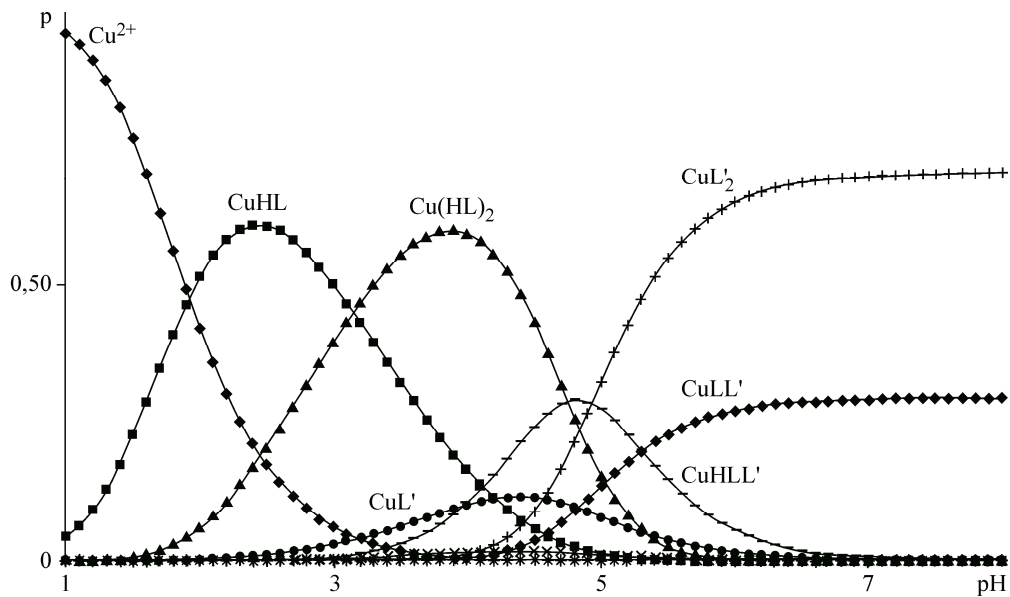


Рис. 7. Зависимость мольных долей компонентов от pH в системе медь(II)—L-гистидин при соотношении $C_M:C_L = 1:2$

Получение химической информации из спектров ЭПР осуществляли, варьируя параметры, определяющие форму линии спектра, и добиваясь совпадения экспериментального спектра с теоретическим.

С целью увеличения точности получаемых результатов проводили одновременный расчет четырех спектров системы, снятых при различных соотношениях металл—лиганд и значениях pH. При этом в качестве критерия оптимизации использовали функцию среднеквадратичного отклонения [24], рассчитанного как среднее значение для четырех спектров.

Построение теоретического спектра осуществляли с использованием метода суперпозиции кривых Лоренца, ширину компонент сверхтонкой структуры от ядер меди определяли исходя из теории Вилсона—Кивелсона [25], в которой показано, что усреднение анизотропных тензоров магнитных взаимодействий в жидких растворах не приводит к полной потере информации об их анизотропии и этой анизотропией определяются значения коэффициентов в соотношении:

$$\Delta H = \alpha + \beta m + \gamma m^2 + \delta m^3 + \dots, \quad (1)$$

где m — проекция ядерного спина, с которым связано анизотропное сверхтонкое взаимодействие. Коэффициенты α , β , γ , δ и так далее образуют убывающую последовательность (обычно в расчетах ограничиваются тремя или четырьмя параметрами), поэтому в случае большого числа линий СТС удобнее использовать уравнение (1) для определения ширины компоненты СТС, нежели рассматривать в качестве варьируемых параметров значения ΔH для каждой линии.

Коэффициенты уравнения (1) ("релаксационные коэффициенты") определяют вклады, обусловленные модуляцией анизотропных частей зеемановского и сверхтонкого взаимодействия вращательным движением парамагнитного комплекса. Для аксиально-симметричного комплекса эти коэффициенты зависят от параметров анизотропии $\Delta g = g_{||} - g_{\perp}$ и $\Delta A = A_{||} - A_{\perp}$ и величины резонансного поля H_0 . Зависимость ширины линий ЭПР от температуры и вязкости задается характеристическим временем корреляции τ_R броуновской ротации парамагнитного акаиона.

Примеры спектров ЭПР исследуемых растворов при комнатной температуре приведены на рис. 8 и 9. Увеличение pH и увеличение содержания аминокислоты приводят к смещению сигнала в область сильного поля, что свидетельствует об изменении окружения иона металла и характера связи металл—лиганд. Результаты обработки спектров ЭПР растворов при комнатной температуре представлены в табл. 4.

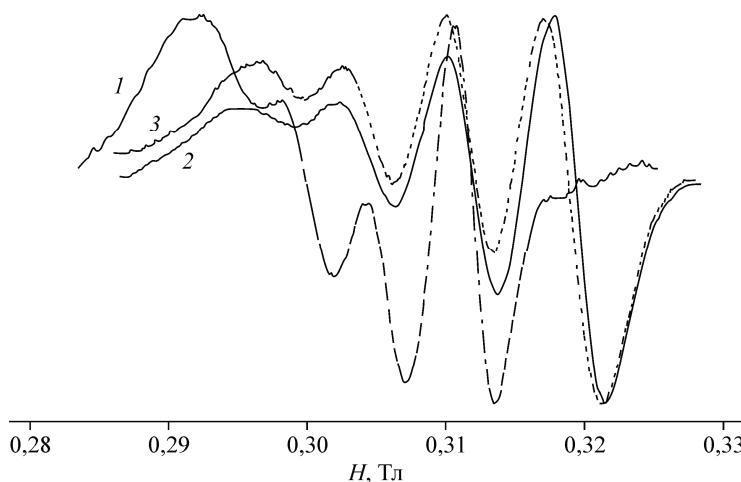


Рис. 8. Спектры ЭПР системы L-гистидин—медь(II) при соотношении $C_M:C_L = 1:2$ и pH 1,98 (1); 5,02 (2); 7,01 (3)

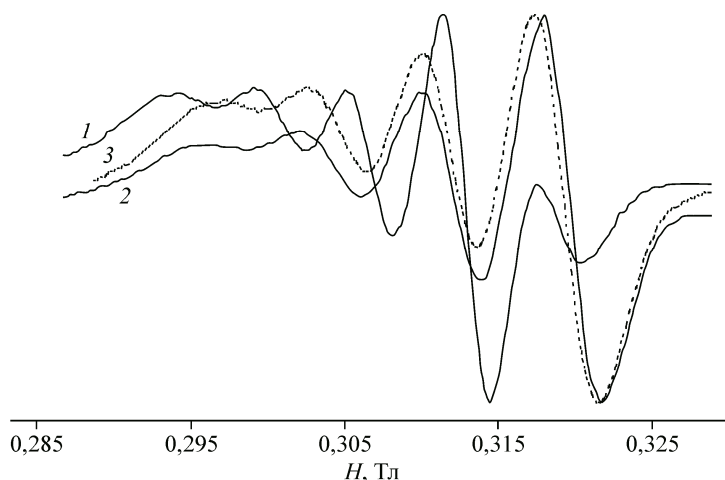


Рис. 9. Спектры ЭПР системы медь(II)—L-гистидин при соотношении $C_M:C_L = 1:4$ и pH 2,04 (1); 5,06 (2); 6,97 (3)

Значения констант устойчивости сопоставимы с представленными в литературе [26]. Значения параметров спин-гамильтониана отражают известную [27] закономерность: увеличение количества атомов азота во внутренней координационной сфере комплекса приводит к увеличению ковалентного характера связи металл—лиганд, что сказывается на уменьшении значений g -фактора и увеличении константы СТВ.

ЗАКЛЮЧЕНИЕ

Проведенное теоретическое исследование показывает, что в растворе возможна реализация сложных равновесий с участием гомо- и гетеролигандных комплексов с различным КЧ иона меди(II). Для комплексов с анионом L-гистидина устойчивы молекулы с КЧ 5 и 6 с би- и тридентатной координацией лиганда, для комплексов с нейтральным лигандом предпочтительно КЧ 4.

Соотношение между комплексами CuL'_2 и CuLL' меняется в диапазоне pH 4—6, а при дальнейшем увеличении остается практически постоянным. Неизменность спектров при увеличении pH выше 10 свидетельствует о том, что процесс депротонирования молекулы воды в изучаемой системе не протекает, т.е. аксиальные положения заняты третьей донорной группой.

пой лиганда. Это позволяет предположить для комплексов CuL_2' и CuLL' структуры соответственно **CuL₂-H₃H₃** и **CuL₂-G₃H₃**.

СПИСОК ЛИТЕРАТУРЫ

1. Неорганическая биохимия / Под ред. Г. Эйхгорна. – М.: Мир, 1979.
2. Болотин С.Н., Буков Н.Н., Волынкин В.А., Панюшкин В.Т. Координационная химия природных аминокислот. – М.: Изд-во ЛКИ, 2007.
3. Sanz A.M.T., Rodriguez P.J.C., Garcia M.F.J. // Chem. Commun. – 1992. – **57**. – Р. 1405.
4. Панюшкин В.Т. Спектроскопия координационных соединений РЗЭ. – Ростов н/Д: Изд-во Ростов. ун-та, 1984.
5. Shoukry M.M., Khairy E.M., Khalil R.G. // Transit. Met. Chem. – 1997. – **22**, N 5. – Р. 465.
6. Szabo-Planka T., Rockenbauer A., Korecz L., Nagy D. // Polyhedron. – 2000. – **19**. – Р. 1123 – 1131.
7. Kurzak B., Kamecka A., Bogusz K., Jezierska J. // Polyhedron. – 2008. – **27**. – Р. 2952 – 2958.
8. Jakab N.I., Gyurcsik B., Korttvelyesi T., Vosekalna I., Jensen J., Larsen E. // J. Inorg. Biochem. – 2007. – **101**. – Р. 1376 – 1385.
9. Kiseleva I., Pyreu D., Krivonogikh T., Bazanova M., Hochenkova T., Kozlovskii E. // Polyhedron. – 2013. – **51**. – Р. 10 – 17.
10. Deschamps P., Kulkarnia P.P., Gautam-Basakk M., Sarkar B. // Coord. Chem. Rev. – 2005. – **249**. – Р. 895 – 909.
11. Горболова Г.Г., Метлин А.А. // Журн. физ. химии. – 2015. – **89**, N 2. – Р. 237 – 242.
12. Abramenko V.A., Bolotin S.N., Nikolaenko I.A. // J. Mol. Liq. – 2001. – **91**, N 1-3. – Р. 219.
13. Крюкова Н.П., Болотин С.Н., Панюшкин В.Т. // Изв. АН. Сер. хим. – 2003. – № 5. – С. 1060 [Russ. Chem. Bull. – 2003. – N5. – Р. 1119 – 1122].
14. Панюшкин В.Т., Болотин С.Н., Ващук А.В. // Журн. структур. химии. – 1997. – № 2. – С. 383. [J. Struct. Chem. – 1997. – **38**, N 2. – Р. 310 – 312].
15. Allen F.H. // Acta Cryst. Section B. – 2002. – **B58**. – Р. 380.
16. Edington P., Harding M.M. // Acta Cryst. Section B. – 1974. – **30**, N 1. – Р. 204.
17. Donohue J., Caron A. // Acta Cryst. – 1964. – **17**, N 9. – Р. 1178.
18. Saraswathi N.T., Vijayan M. // Acta Cryst. Section B. – 2002. – **58**, N 4. – Р. 734.
19. Petrosyan H.A., Karapetyan H.A., Antipin M.Y., Petrosyan A.M. // J. Cryst. Growth. – 2005. – **275**, N 1-2. – Р. e1919.
20. Bennett I., Davidson A.G.H., Harding M.M., Morelle I. // Acta Cryst. Section B. – 1970. – **26**, N 11. – Р. 1722.
21. Болотин С.Н., Ващук А.В., Панюшкин В.Т. // Журн. общ. химии. – 1996. – **66**, N 8. – С. 1360.
22. Болотин С.Н., Панюшкин В.Т. // Журн. общ. химии. – 1998. – **68**, N 6. – С. 1034.
23. Демидович Б.П., Марон И.А. Основы вычислительной математики. – М.: Наука, 1970.
24. Николаенко И.А., Панюшкин В.Т., Болотин С.Н. Программный комплекс расчета параметров спектров ЭПР комплексных соединений Cu(II) с различными органическими лигандами. Св-во об официальной регистрации программы для ЭВМ № 2002610136, Кубанский государственный университет, Краснодар (Россия), 2002.
25. Wilson R., Kivelson D. // J. Chem. Phys. – 1966. – **44**, N 1. – Р. 154.
26. Sovago I., Kiss T., Gergely A. // J. Chem. Soc., Dalton Trans. – 1978. – N 8. – Р. 964.
27. Коган В.А., Зеленцов В.В., Ларин Г.М., Луков В.В. Комpleксы переходных металлов с гидразонами. – М.: Наука, 1990.
28. Kivelson D., Collins G. Electron Spin Resonance Line Width in Liquids. Paramagnetic Resonance. Vol. 2. – New York: Academic Press, 1962.